La diversidad conjunta disminuye en J-2 y J-3, coincidiendo con los vertidos de Villalgordo del Júcar. En este último punto se llega al valor mínimo del tramo estudiado con 1.08 bits. Tras este punto aumentan los valores hasta alcanzar 3.60 bits en J-5 para disminuir una vez más hasta J-7 (figura 16). J-8 llega a la máxima valoración con 4.14 bits para volver a bajar en Alcalá de Júcar 1 y Alcalá del Júcar 2 recuperándose posteriormente (tabla 3).

Con respecto a la equitabilidad, la mejor respuesta fue para J-2 y J-8 (0.75). En la primera se recolectaron pocos taxones pero las proporciones entre ellas fueron muy próximas. Todas las demás estaciones oscilan entre 0.57 y 0.74 y por fin la mínima se registró en J-3 tal y como comentábamos unas líneas arriba. En este caso el mimero de individuos recolectados de la especie *Potamopyrgus antipodarum* es el causante de este desequilibrio (1030 ind.). El siguiente grupo en número de ejemplares es el de los quironómidos con 93. Los otros taxones registran cantidades de entre 1 y 46.

Tabla 3. Diversidad de Shannon en el r\u00edo J\u00fccar. Diversidad conjunta (H\u00edo nbits), Diversidad m\u00e1xima (H\u00edm\u00edx en bits), Equitabilidad (E) y N\u00edmero de taxones (T).

	J-1	J-2	1-3	J-4	1-5	1-6	1-7	J-8	1-9	J-10	1-11	J-12
T	21	14	12	21	30	32	19	45	28	24	24	33
H,	3,24	2,86	1,08	2.96	3,60	3.34	2,62	4,14	3,21	2.60	2.82	3,33
H máx	4,39	3,81	3,58	4,39	4,91	5,00	4,25	5,49	4,81	4,58	4,58	5,04
E	0,74	0.75	0.30	0.67	0,73	0.67	0,62	0.75	0.67	0,57	0.61	0.66

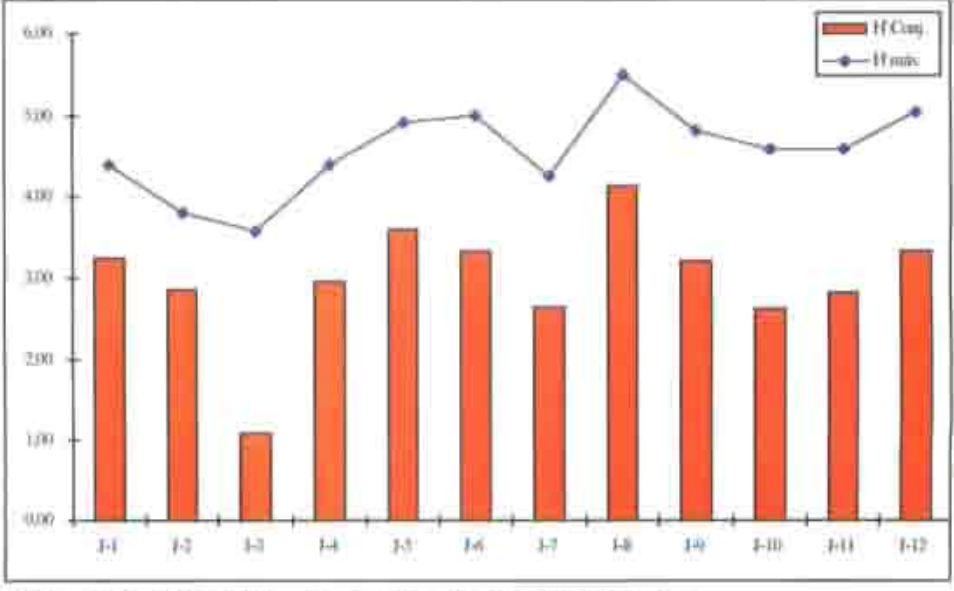


Figura 16. Representación gráfica de las diversidades.